Информационные системы. Информатика. Проблемы информационной безопасности Information systems. Computer sciences. Issues of information security

УДК 004.02 https://doi.org/10.32362/2500-316X-2022-10-4-7-17



ОБЗОР

Сравнительный анализ алгоритмов сжатия четырехмерных световых полей

Р.Г. Болбаков[®], В.А. Мордвинов, А.Д. Макаревич

МИРЭА – Российский технологический $^{ ext{@}}$ Автор для переписки, e-mail: bolba

Резюме

уиверситет, Москва, 119454 Рамия wirea.ru систем захвата свето обусловлено высоким качеством воспро-Цели. Широкое расприс анени изводимого изобр тот вид захвата, хоть и дач превосходит традиционные подходы к заения. вен ых вой жений, генерирует огро нято за нарехмерного светово жений, генерирует огромное ных, необходимых для восстановления ель работы – рассмотреть традиционные и расшиполя. рехмерной размерности адторит сжатия изображений, провести их сравнительный анализ ные до не пределить ноболее подходящие из нах

ие ет бы обработки сигналов и методы статистического анализа. годы. Ипользованы математич ьталы. Проведены сравна нажиз алгоритмов применительно к сжатию четырехмерных световых полей с использованием меть ки SNR. Установлено, что на выбранный критерий оценивания влияет не только размерность ал о тия, но также и расстояние базовой линии установки захвата, так как тма с. вается в зависимости от расстояния между оптическими центрами разница между изображниям увели б. Так для установок, состоящих из массива камер машинного зрения, находящихся каждой матрицы кам на стойках и 🍒 к в помещении, очевидным выбором будет применение обычных методов сжатия изображел й. Также, исходя из оценки произвольностей методов сжатия видео, замечено, что алгоритм цененным, хотя его результаты оказываются выше остальных. Следующим по значимо-XVC остается не сти можно считат показывают более высокую производительнось по отношению к своим предшественникам. Продемонстрировано, что при небольшом расстоянии между оптическими центрами запечатленных изображений применение алгоритмов сжатия видео более предпочтительно, чем применение алгоритмов сжатия изображений, так как они показывают более высокие результаты как в трехмерном, так и в четырехмерном варианте.

Выводы. Сравнение полученных результатов показывает необходимость применения на установках с длинной базовой линией (установленных на стойках камеры) алгоритмов из семейства сжатия видеозаписей (XVC, AV1). При работе с интегрированными камерами светового поля (Lytro) и установкой захвата с короткой базовой линией рекомендуется использовать алгоритмы сжатия изображений (JPEG). В общем случае рекомендуется использовать алгоритмы сжатия видео, в частности XVC, поскольку в среднем он показывает приемлемый уровень PSNR как в случае с короткой, так и с длинной базовой линией установки.

Ключевые слова: 3D-визуализации, 4D-световое поле, сжатие световых полей

• Поступила: 10.01.2022 • Доработана: 04.05.2022 • Принята к опубликованию: 20.06.2022

Для цитирования: Болбаков Р.Г., Мордвинов В.А., Макаревич А.Д. Сравнительный анализ алгоритмов сжатия четырехмерных световых полей. *Russ. Technol. J.* 2022;10(4):7–17. https://doi.org/10.32362/2500-316X-2022-10-4-7-17

Прозрачность финансовой деятельности: Авторы не имеют финансовой заинтересованности в представленных материалах или методах.

Авторы заявляют об отсутствии конфликта интересов.

REVIEW ARTICLE

Comparative analysis of compression algorithms for four-dimensional light relds

Roman G. Bolbakov [®], Vladimir A. Mordvinov, Artem D. Makarevich

MIREA – Russian Technological University, Moscow, 19454 Russia

© Corresponding author, e-mail: bolbakov@irea.ru

Abstract

Objectives. The widespread use a system for capturing light fields is due to the high quality of the reproduced image. This type of capture, among a functively superior to traditional methods to capturing volumetric images, generates a huge amount of lata needs to reconstruct the original captured 4D light field. The purpose of the work is to consider traditional, and expanded to rour-dimensional image compression algorithms, to perform a comparative analysis and determine the most pitable.

Methods. Mathantica method of signal processing and methods of statistical analysis are used.

Results. Algorithms be contrared and analyzed in relation to the compression of four-dimensional light fields using the PSNR precent the secreted evaluation criterion is affected not only by the dimension of the compression algorithm, but also with the stance of the baseline of the capture setting, since the difference between images increases with the distance between images increases with the distance between optical centers of each camera matrix. Thus, for installations consisting of an array of machine vision camera plocated on racks and placed in a room, the obvious choice would be to use conventional image compression pethods. Furthermore, based on the assessment of the arbitrariness of video compression methods, it should be noted that the XVC algorithm remains undervalued, although its results are higher. Algorithm AV1 can be considered the next in order of importance. It has been established that the latest compression algorithms show higher performance if compared to their predecessors. It has also been shown that with a small distance between the optical centers of the captured images, the use of video compression algorithms is preferable to the use of image compression algorithms, since they show better results in both three-dimensional and four-dimensional versions.

Conclusions. A comparison of the results obtained shows the need to use algorithms from the video compression family (XVC, AV1) on installations with a long baseline (mounted on camera stands). When working with integrated light field cameras (Lytro) and setting the capture with a short baseline, it is recommended to use image compression algorithms (JPEG). In general, video compression algorithms are recommended, in particular XVC, since on average it shows an acceptable level of PSNR in both the case of a short and long installation baseline.

Keywords: 3D visualization, 4D light field, light field compression

• Submitted: 10.01.2022 • Revised: 04.05.2022 • Accepted: 20.06.2022

For citation: Bolbakov R.G., Mordvinov V.A., Makarevich A.D. Comparative analysis of compression algorithms for four-dimensional light fields. *Russ. Technol. J.* 2022;10(4):7–17. https://doi.org/10.32362/2500-316X-2022-10-4-7-17

Financial disclosure: The authors have no a financial or property interest in any material or method mentioned.

The authors declare no conflicts of interest.

ВВЕДЕНИЕ

Информационные данные светового поля по своей природе описывают параметры света, испускаемого из точки пространства, захваченного, например, множеством камер [1] или камерой светового поля (light-field imaging) [2], основанной на пленоптическом принципе [3]. Требования к хранению и передаче таких данных сводятся зачастую к увеличению объема их хранилища и повышению производительности каналов передачи, поэтому разработка и исследование методов сжатия для световых полей в последние годы становятся все более актуальными. Несмотря на то, что существует множество эффективных форматов сжатия для неподвижных и движущихся изображений, в литературе выполнено лишь небольшое исследование влияния этих методов на свойства изображений светов п поля [4]. В данной работе проведена оценка в менных методов сжатия изображений и подео на качество изображений, получтемых за снове данных чество изображений, получемых вкличают в себя посветового поля. Эти ме од следние стандарты ж ия видео, особенно AV1¹ [5]

1) – открытый стандарт, ый для кодирования видео по вид , предназначе по сети Интернет. Он заменяет форм емо 29 р зработанный Google. Соржен 5], XV1 превилес восходит H.265/HEVC на 17%, а VP9 - 1 3%в оком диапазоне битрейта/разрешений. г. абать зается рьянсом за открытые медиа (AOMedia созданным в 2015 г. и состоящим из компани, дихся производством нен ем видео по запросу и разра-ир, Apple, Arm, Broadcom, Intel, электроники, распрост боткой веб-браузеров (х Nvidia, Amazon, Facebool Google, Hulu, Netflix, Mozilla, Microsoft). Timothy B. Terry Perry. Progress in the Alliance for Open Media (slides). URL: https://people.xiph.org/~tterribe/ pubs/lca2017/aom.pdf (18 January 2017), дата обращения: 22.06.2017. [AOMedia Video 1 (AV1) is an open video compression standard for encoding video transmitted over the Internet. It replaces the VP9 video encoding format developed by Google. According to [5], AV1 outperforms H.265/HEVC by 17% and VP9 by 13% over a wide range of bitrates/resolutions. Developed by the Alliance for Open Media (AOMedia), created in 2015 and comprised of electronics, video-on-demand, and web browser companies (AMD, Apple, Arm, Broadcom, Intel, Nvidia, Amazon, Facebook, Google, Hulu, Netflix, Mozilla, Microsoft). Timothy B. Terriberry. Progress in the Alliance for Open Media (slides). URL: https://people.xiph.org/~tterribe/ pubs/lca2017/aom.pdf (18 January 2017). Accessed June 22, 2017.]

и XVC^2 [6]. Чтобы в полной мере использовать потенциал распространенных методов сжатия изображений на четырехмерных изображениях светового поля, мы расширяем эти методы на трех- и четырехмерные измерения. В статье продемонстрировано, что данные четырехмерного светового поля могут быть сжаты гораздо сильнее, чем независимые неподвижные изображения при сохранении того же визуального качества воспринимаемого изображения.

Для описания трехмерной сцены из любого возможного положения наблюдателя определим функцию $P(x, y, z, \varphi, \psi)$ [3], где (φ, ψ) – угол обзора как оы (в сферических координатах); (x, y, z) — бсол твес положение точки просмотра (рис. — Ресультатом выполнения функции P являетс ицвесточисывающий визуальное отображение участ даемой точки пространства. Определе из тункции P может быть дополнено параметр (x, y, z) — для описания динамичной сцены

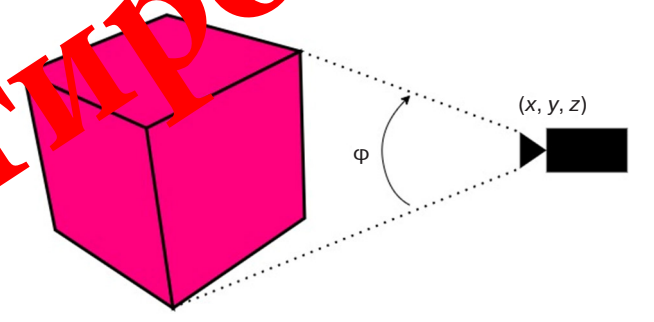


Рис. 1. Захват сцены с одной позиции просмотра. Для простоты угол обзора указан для одной сферической координаты

Наша задача – описать сцену путем съемки либо с помощью множества камер (сатега аггау), либо с помощью одной компактной матрицы, которой предшествуют микролинзы, например, как в Lytro. В этом случае апертура может быть изображена в виде сетки видов (камер), расположенных на двумерной плоскости. Этот случай проиллюстрирован

² XVC – формат кодирования видео с сильным акцентом на потоковые приложения с низким битрейтом. На официальном сайте (URL: https://xvc.io/, дата обращения 04.12.2021) утверждается, что кодек превосходит AV1, H.265/HEVC и VP9. [XVC is a video encoding format with a strong focus on low bitrate streaming applications. The official website (URL: https://xvc.io/. Accessed December 04, 2021) claims that the codec is superior to AV1, H.265/HEVC, and VP9.]

на рис. 2, где расстояние на линии, проходящей через точки основания между отдельными видами, описывается параметром d. Это представление часто называют 4D-световым полем (англ. light field – LF), поскольку мы имеем дело с функцией светового поля L, дискретизированной в четырех измерениях (k, l, m, n), где (m, n) – координаты пикселей; (k, l) – индексы изображения с субапертурой.

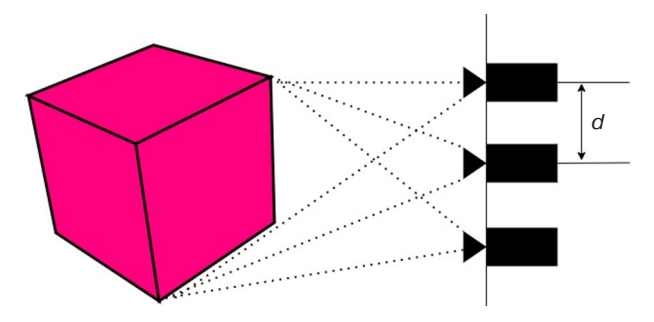


Рис. 2. Захват четырехмерного светового поля при помощи массива камер

Световые поля, получаемые одним компактным единым устройством, имеют ограничения по углу обзора. Световые поля, основанные на множество камер, обеспечивают большие углы обзора за сче распределения матриц камер в пространстве вокруг объекта. На практике количество видов, ра женных на двумерной плоскости, колеблет от пары единиц. Учитывая высокое разусь ие да чиков, неудивительно, что объем дал поле достигает огромных размеров. В честве примера рассмотрим световое де «Treast Chest»³ (рис. 3), взятое из Стэнфордског архива световых полей. Это поле снима тся с помодью сетки камер облажения 1536 × 1280 пик-17 × 17 с разрешением селей. Размер нескатых энних превышает 1 Гб. При использований фото-1 следовательностей для ребования к хранению и организации вы передаче будут сор мерно увеличены.

МЕТОДЫ СЖАТИЯ 4D-СВЕТОВЫХ ПОЛЕЙ

В последнее время в литературе было предложено несколько методов сжатия 4D-световых полей [4, 5, 7–19]. С помощью некоторых из этих методов исследователи пытаются напрямую сжимать данные с датчиков, которым предшествуют микролинзы (изображения линз). С помощью других сжимают результирующее 4D-световое поле вместо обработки исходных «сырых» данных. В этой статье мы сосредоточимся только на последних.

Сравним различные современные методы сжатия, применимые к данным 4D-светового поля. Эти методы включают последние стандарты сжатия видео, особенно AVI (ктвержден в июне 2018 г.) и XVC (версия кыпущен в июле 2018 г.). Чтобы провести сравнения мы перефокусируем исходное и распаковалное свет воз поле. Затем оценка проводится с использованием метрики PSNR (отношение пиковать си тула и шуму в исследуемой выборке, англичаем заполного показателя оценки качества.

ме отображения из исходного светового поля обычно не визуализируются. Поэтому нет смысла на рямую сравнивать исходное и распакованное овые поля, хотя такая методология обычно используется для оценки производительности сжатия одного вида. По этой причине будет использована методология оценки производительности сжатия для многофокусного рендеринга из [4]. Эта методология в основном заключается в оценке качества рендера представлений для нескольких контрольных точек. Визуализированные отображения получаются путем объединения пикселей из разных 4D-видов светового поля для различных фокальных плоскостей. Среднее искажение вычисляется как среднее значение PSNR для нескольких визуализированных видов в фокальной плоскости. Методика сравнения проиллюстрирована на рис. 3. Обратим внимание,

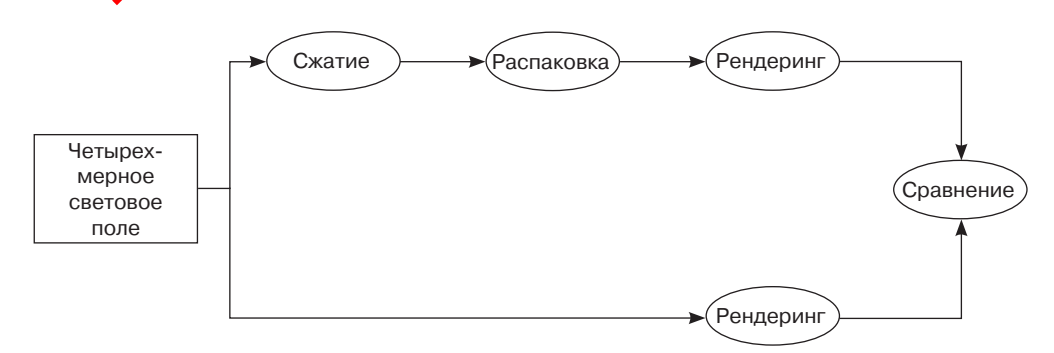


Рис. 3. Диаграмма потока данных методики сравнения алгоритмов сжатия

³ Standford light-field dataset. URL: http://lightfield.stanford.edu/?gclid=Cj0KCQiA47GNBhDrARIsAKfZ2rD2CB3lMtzHJXPr0 uXM_KJm_tEllZIZLviFERCFsasV9JygG55uBIaAtRTEALwwcB, дата обращения: 04.12.2021. [Standford light-field dataset. URL: http://lightfield.stanford.edu/?gclid=Cj0KCQiA47GNBhDrARIsAKfZ2rD2CB3lMtzHJXPr0uXM_KJm_tEllZIZLviFERCFsasV9JygG55uBIaAtRTEALwwcB. Accessed December 04, 2021.]

что PSNR вычисляется из среднего квадрата ошибки по всем трем цветовым компонентам.

Световое поле 4D содержит двумерную сетку двумерных видов, захваченных с камер. Длина базовой линии между отдельными видами колеблется от нескольких миллиметров (микролинзы) до нескольких сантиметров (массив камер). Поэтому естественно ожидать высокого сходства видов, смежных в любом из двух направлений сетки. Это сходство открывает путь к пониманию данных 4D-светового поля как видеоряда, перемещающегося между точками обзора. Альтернативно мы можем рассматривать четырехмерное световое поле как трехмерное или непосредственно как четырехмерное тело. Описанные выше подходы также могут быть отражены в сжатии светового поля с помощью системы кодирования изображений, видео, объемных или четырехмерных изображений. Хотя возможны и другие подходы (например, использование 3D-видео).

В последние годы в сторонних работах сравнивались и оценивались характеристики катия различных подходов к изображениям светво поля.

В [4] авторы оценили производителью сть основных стандартов кодирования изогражений с независимыми видами и Н.265/н. УС⁴ с зависимыми видами. Пометка «с независимыми видами» является обозначением того, это смельные виды были сжель независимо фр. Сот дога. Подходы к кодировае но виде в работе с оценивались. Как и слугова ожисить, внутренний профиль Н.265/ПЕУ/С от зался на въргее эффективным методом жатая.

В [7] авторы сравнили прогродительность сжатия трех стратегий с ис льзов ием кодека H.265/HEVC. В первой стратеги, выполняется сжатие непосредствет и негодном пленоптическом тие непосредстве изображении. Следующей стратегии организурного светового поля в виде ются виды четыр псевдовременной предовательности в спиральном порядке, и впоследствии происходит их сжатие. В последней стратегии сжатие происходит на подмножестве изображений, извлеченном из пленоптического изображения, посредством преобразования в четырехмерное световое поле. Результаты проведенной авторами работы показывают, что кодирование четырехмерного светового поля приводит к лучшей производительности по сравнению с непосредственным кодированием изображений, полученных с камер.

Авторы работы [8] сравнили производительность JPEG⁵, JPEG 2000 и SPIHT⁶ непосредственно на изображениях, полученных с матриц камер. Сравнение проводилось с использованием той же методологии, что и в данной статье. Как и следовало ожидать, JPEG 2000 демонстрирует наилучшую производительность сжатия.

В [9] авторы предложили переставить четырехмерное световое поле как представление в виде плиток большого прямоугольного изображения. Затем это изображение сжималось с помощью кодера JPEG 2000. Предложенная схема была сравнена со стандартными алгоритмами кодирования изображений, а именно, JPEG 2000 и JPEG XR. Однако неясно, как точно эти стандартные алгоритма одирования были применены к данным 4D-гветори поля.

ния были применены к данным 4D-светого поля. В [10] автор перестраивает у тъл хми тое световое поле в трехмерное тело Затем ред терный объем кодируется с использованием хем. 3D DCT на блоках $8\times8\times8$ аналогу то си тель кодирования JPEG. Помимо обычках тодов кодирования суще-

Помимо обычать тодов кодирования существует также аль она туный подход [11], который использует глу окос обучение для оценки 2D-представление из разраженных наборов 4D-представлений. Роуго по ход [12] предлагает собственную схему в реже того кодирования для всего четырехмерного ве эвого соля, основанную на нескольких оптимизированных ключевых представлениях.

Метод, описанный в [13], опирается на построение суперлучей, которые ограничивают суперпиксели, образующие данный суперлуч. Это ограничение необходимо для того, чтобы суперлучи можно было использовать в качестве поддержки уменьшения угловой размерности на основе приближения матрицы низкого ранга. Затем вычисляется приближение матрицы низкого ранга для суперлучей с компенсацией несоответствия с применением разложения по сингулярным значениям (англ. singular value decomposition — SVD). Затем базовые векторы кодируются с использованием HEVC или JPEG-Pleno VM 1.1 для каждого отдельного представления.

В [14, 15] авторы предлагают иерархическую структуру кодирования для четырехмерных световых полей. Четырехмерное световое поле разбивается на несколько видов, а затем организует их в структуру кодирования в соответствии с пространственными координатами. Все представления закодированы иерархически. Схема реализована в справочном программном обеспечении H.265/HEVC.

⁴ H.265/HEVC (high efficiency video coding, англ.) – высокоэффективное кодирование видеоизображений; MPEG-H – стандарт сжатия видео, разработанный в качестве преемника широко используемого H.264/AVC (MPEG-4). [H.265/HEVC is a high efficiency video coding; MPEG-H is a video compression standard developed as a successor to the widely used H.264/AVC (MPEG-4).]

⁵ JPEG – Joint Photographic Experts Group (англ.), по названию организации-разработчика. [JPEG – Joint Photographic Experts Group, titled after the name of the developer.]

⁶ SPIHT – set partitioning in hierarchical trees (англ.) – пространственно упорядоченные иерархические деревья. [SPIHT is a set partitioning in hierarchical trees.]

В [16] авторы предлагают схему кодирования, которая разделяет четырехмерное световое поле на несколько центральных видов и остальные смежные виды. Смежные виды вычитаются из центральных видов, и затем обе группы кодируются с помощью кодека H.265/HEVC. Авторы [17, 18] передают четырехмерное световое поле в кодек H.265/HEVC, используя режим взаимного прогнозирования для отдельных видов LF. Наконец, огромное внимание было уделено подходам сжатия на основе сверточных нейронных сетей [19, 20]. Из вышесказанного видно, что схемы кодирования JPEG 2000 и особенно H.265/HEVC довольно популярны при сжатии четырехмерных световых полей.

В настоящей статье мы сравниваем производительность основных современных методов сжатия с потерями. Эти методы можно разделить на четыре группы в зависимости от способа обработки данных 4D LF. Первая группа охватывает следующие методы кодирования изображений: JPEG и JPEG 2000. В [21] их называют методами, основанными на самоподобии. Вторая группа включает методы кодирования видео: H.265/HEVC, AV1, VP9 и XVC. В основном их называют методами, основанными на псевдопоследовательности. Третья группа расширяет методы кодирования изображений в трех измерениях. Эта группа состоит из JPEG 3D и JPEG 2000 3D. Обращаем внимание, что JPEG 3D относится к объемному изображению, а не к паре стереоскопических изображений. Четвертая группа расширяет методы кодировани изображений в четырех измерениях. Однако в этой группе существует только один метод – ЈР

Для оценки вышеуказанных методо, истользуются следующие кодеки: OpenJPLG, x26 Повел (библиотека кодеков AV1), Гоур (SDK) деков VP8/VP9), кодек XVC.

NCXC HOLE AHH IE

В этом раздел тре лен набор данных, метод многофокусной изуализации, эксперименты, проведенные с этим избором данных, и полученные результаты.

Набор данных состоит из четырех 4D-световых полей, основанных на двух типах устройств захвата. Два световых поля были сняты с помощью пленоптической камеры Lytro Illum B01 (произв. компания Lytro, США), а два других — с помощью обычных DSLR камер.

Первое обычное световое поле камеры было снято с помощью матрицы из нескольких камер, а другое — с помощью простого моторизованной установки, оснащенного цифровой камерой Canon Rebel XTi (произв. компания Canon, Япония). Соответствующие разрешения и соответствующие диапазоны расхождений изображений перечислены в таблице. Значения в последнем столбце — расхождение изображений — описывают

разницу в пикселях в местоположении одного и того же 3D-объекта, спроецированного на изображения, снятые камерой или вычисленные по изображению пленоптической камеры, в случае Lytro.

Как можно заметить, диапазон расхождений будет узким (от -1 до +1 пикселя) для светового поля с плотной выборкой (короткой базовой линией) в случае применения камеры Lytro и широким (от 40 до 90 пикселей) — для изображений, полученных массивом камер. Эти значения, очевидно, коррелируют с фокусным расстоянием камеры и расстоянием между центрами камер или пленоптических линз в случае Lytro. Для удобства центральный вид для каждого светового поля показан на рис. 4.



Рис. 4. Набор данных, использованных для сравнения. Слева направо: Danger de mort, Chessboard, Treasure Chest, Palais du Luxemburg

На рис. 4 первое и последнее световое поле снимаются с помощью пленоптической камеры; Chessboard снимается с помощью массива камер; Treasure Chest снимается с помощью моторизованной установки с зафиксированной на ней камерой.

Цифровая перефокусировка изображений в виртуальной фокальной плоскости достигается с помощью алгоритма суммирования сдвигов (shift-sum algorithm) [22]. Этот алгоритм сдвигает изображения (виды) с субапертурой в соответствии с оптическим центром камеры относительно опорного кадра и накапливает соответствующие значения пикселей. Перефокусированное изображение будет средним значением преобразованных изображений. Вычисление значения пикселя в точке (m,n) перефокусированного изображения E_d задается уравнением:

$$E_{\rm d}(m,n) = \frac{1}{N} \sum_{k,l} L(k,l,m+\alpha k,n+\alpha l), \qquad (1)$$

где N — количество суммированных изображений; α — расстояние синтетической плоскости от основного объектива; k и l — индексы субапертурного

Таблица. Набор данных, использованных для сравнения

Описание	Источник	Разрешение	Расхождение в пикселях
Danger de mort	ЕРЬГ датасет	$15 \times 15 \times 625 \times 434$	От –1 до 1
Chessboard	Саарландский университет	8 × 8 × 1920 × 1080	От 40 до 90
Treasure Chest	Стэндфордская лаборатория компьютерной графики	17 × 17 × 1536 × 1280	От –1 до 7
Palais du Luxemburg	EPFL датасет	15 × 15 × 625 × 434	От –1 до 1

изображения представления светового поля; αk и αl – параметры сдвига по отношению к системе отсчета. Также выполнена линейная интерполяция в двух последних 4D-измерениях, чтобы преобразовать функцию выборочного светового поля в непрерывную.

ЭКСПЕРИМЕНТ 0

Предварительно стоит уточнить, действительно ли необходимо оценивать качество изображений, отображаемых для нескольких фокусных точек, а не на исходных данных (т.е. напрямую сравнивать исходный и распакованный набор изображений). Быстрый эксперимент показывает, что между этими подходами существует большая разница (рис. 5). Она составляет около 10 децибел в PSNR в зависимости от битрейта и метода сжати. Это можно объяснить тем фактом, что любой път ел в отображаемом виде представляет собой мм пикселей из четырехмерного светового пол ток что эта сумма в совокупности уменьил т кол чество артефактог сжатия. Другими словами иы можем позводиль себе сжимать 4D гвс вые поля гораздо сил чем независимые из буажения, сохраняя и с качество отображаемо то же жыуа ы Я. жени

рис. 5 показана разница в менк качества с исть прог нием 4D-световог поля прямую по сравнению с использованием изслажена, визуализированных в виртуальн их фокадыных плоскостях. Иллюстрация приведена по стетовом поле Danger de mort.

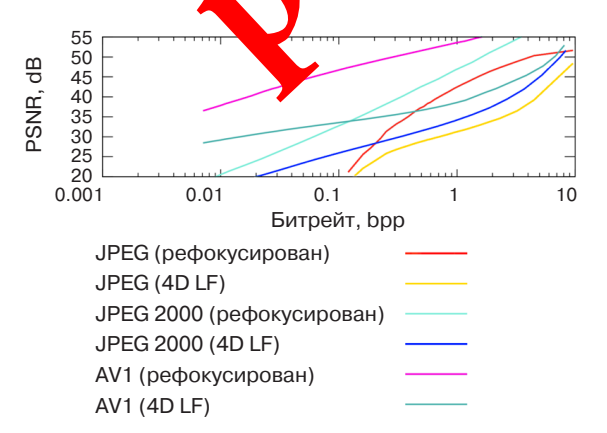


Рис. 5. Эксперимент 0. Разница в оценке качества

ЭКСПЕРИМЕНТ 1

Как видно из обзора литературы, большинство современных подходов к сжатию световых полей обрабатывают либо 2D-данные, либо их последовательность (сжатие видео). Сжатие четырехмерных изображений световых полей все еще остается относительно неисследованной областю. Поскольку четырехмерное световое полетие с ляет собой последовательности 2D-изображен (точек обзопользоваться для ра), методы сжатия 2D м я то ж обзора. Однако танезависимого кодиров... кие методы не позволять пользовать корреляции пикселей во всех чтыр сизмерениях. Аналогичные рассуждения мо. 6 и пользовать и для 3D-методов. В нашем же уим нте 0 мы были заинтересованы эффектов сжатия световых полей в трех в изучени язмерениях. Чтобы справедливо оцепро изводительность сжатия, для случаев 2D, Dи необходимо использовать идентичный ме-ользовательская реализация метода сжатия JPEG с возможностью обработки данных 2D, 3D или 4D. Кроме того, известно о существовании стандарта JPEG 2000 с возможностью сжатия 2D- и 3D-данных одним и тем же способом. К сожалению, JPEG 2000 не работает с 4D-изображениями. Поскольку сходство соседних пикселей в трехмерном и четырехмерном изображении сильно зависит от базовой линии камеры, можно ожидать разных результатов. Результат этого эксперимента показан на рис. 6. На каждом графике горизонтальная ось показывает битрейт (бит на пиксель), а вертикальная ось - среднее значение PSNR для нескольких визуализированных точек обзора в фокальной плоскости.

На световых полях с небольшой базовой линией (Danger de mort и Palais du Luxemburg) оба метода 3D-сжатия явно превосходят свои 2D-аналоги по всему диапазону битрейта. Аналогично, метод 4D JPEG явно превосходит свой 3D-аналог.

Это неудивительно, потому что пиксели в одном и том же пространственном положении на соседних видах сильно коррелированы. Однако ситуация меняется с увеличением базовой линии. При этом (Treasure Chest и Chessboard) смежные виды становятся все

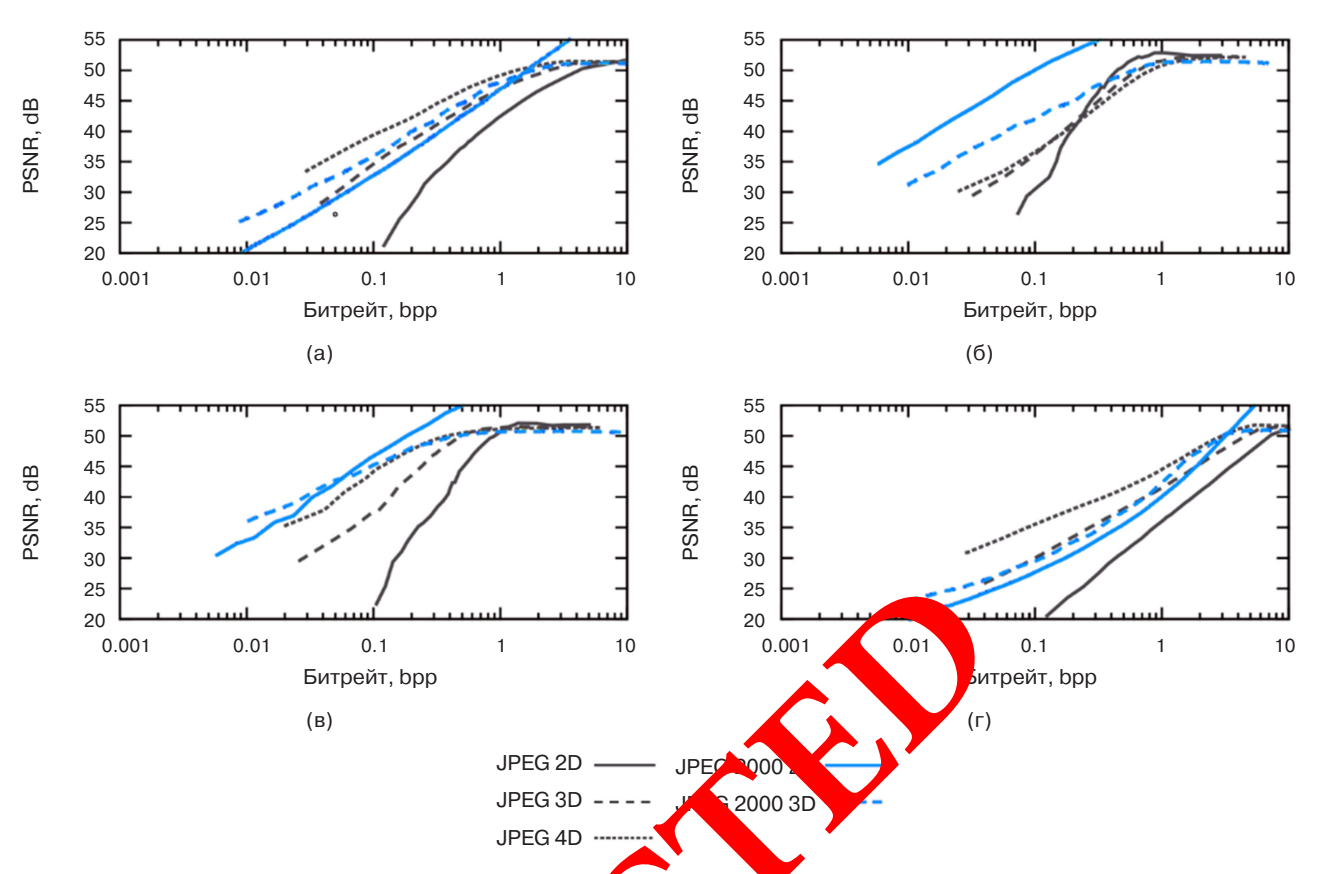


Рис. 6. Эксперимент 1. Сравнение про изводительности методов сжатия изображений: (a) Danger de mort, (б) Chessboar (в) Treature Chest, (г) Palais du Luxemburg

менее и менее похожими, что приводит к стер высоким амплитудам базовых коэффициентов угосовательно, ситуация до ется в пользу методов сжатия с меньшими разделам

Учитывая метод JPEG, Дразил Chest является особым случаем, посколу с он соде, ит большое количество черных пик елек. Оказывается, что более эффективно схимать эти илошные области сразу с помощью пор 4D-блока, чем с помощью нескольких 3D-блока. Англогично, более эффективным будет и тользог име одного 3D-блока, чем нескольких 3D-блока.

КСПЕРИМЕНТ 2

Второе, на что следует обратить внимание в предыдущем разделе — это использование стандартов сжатия видео. Возникает вопрос: 4D-световые поля лучше сжимать в виде последовательности 2D-кадров или в виде многомерного тела? Поэтому мы измерили производительность всех вышеупомянутых стандартов сжатия видео. Результаты можно увидеть на рис. 7. На этот раз для краткости показаны результаты только для двух световых полей.

Интересно, что кодек XAVC действительно показал лучшую производительность сжатия, чем HEVC и AV1. Чтобы ответить на вопрос: «Каков наилучший метод сжатия для данных световых полей?», было проведено дополнительное сравнение результатов с наиболее эффективными методами из эксперимента 1. Общее сравнение показано на рис. 8. Интересно, что методы сжатия видео работают лучше, чем все методы сжатия изображений, даже лучше, чем их расширения 3D и 4D.

ЗАКЛЮЧЕНИЕ

Целью работы было проведение оценки существующих методов, подходящих для сжатия 4D-световых полей с потерями. Поскольку световое поле в исходном варианте представляет из себя набор изображений, запечатленных массивом камер, методы сжатия изображений станут первыми, из чего мы будем выбирать в задачах сжатия. Эксперимент показывает, что методы, обрабатывающие 4D-световые поля непосредственно в четырех или трех измерениях, позволяют достичь более высоких результатов сжатия, чем классические реализации сжатия двумерных изображений.

Однако стоит отметить, что на выбранный критерий оценивания, а именно PSNR, влияет не только размерность алгоритма сжатия, но также и расстояние базовой линии, так как разница между изображениями увеличивается в зависимости от расстояния между

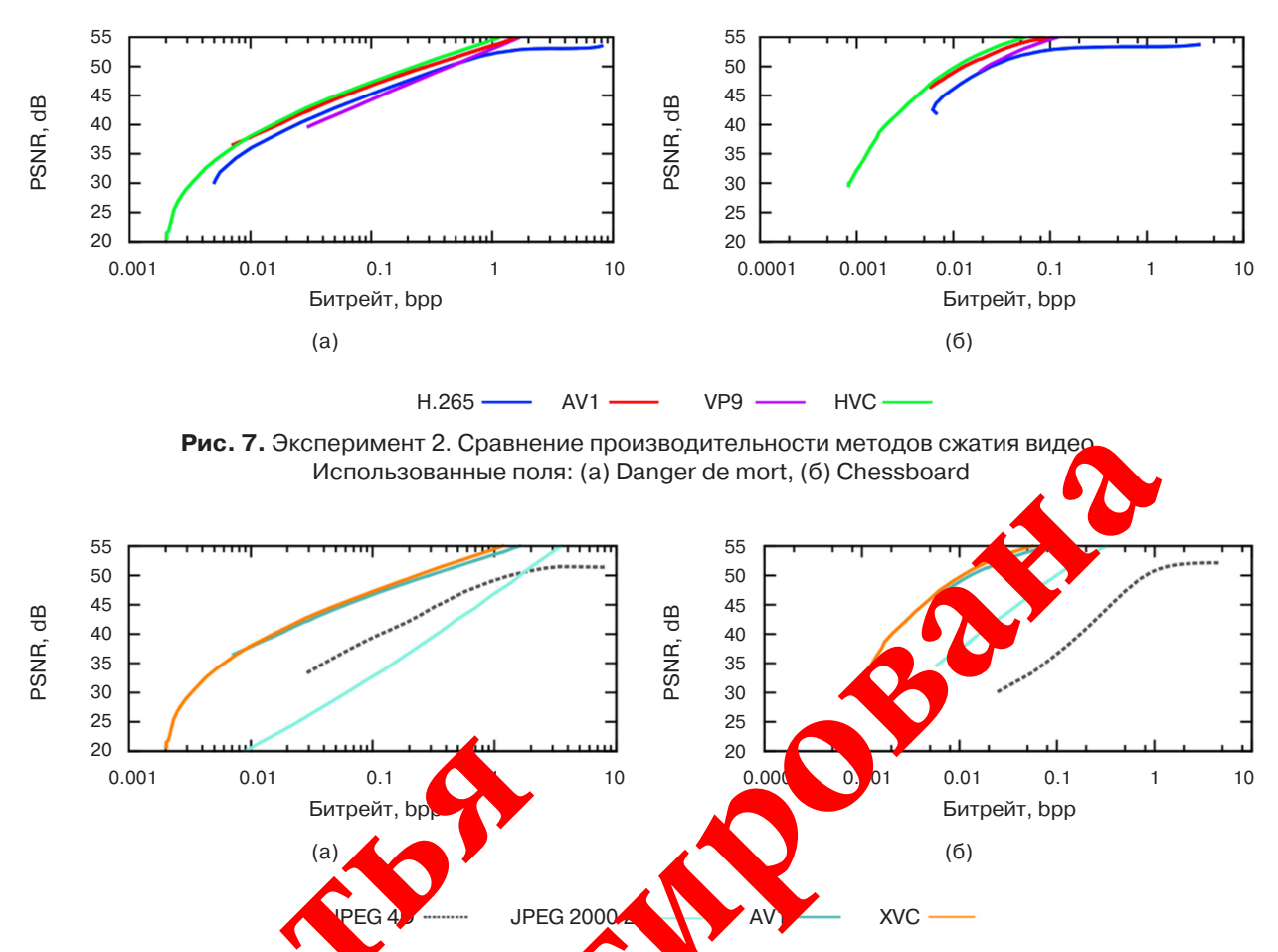


Рис. 8. Сравне производительности междов сжатия видео по отношению к алгоритмам сжатия вода тений. Использованные пр. (а) Danger de mort, (б) Chessboard

оптическими центреми каждой матрици ка еры. Так для устоновок, состоящих из массива ка его машинного зрень зрау дящихся на стойи и рас звленных в помещении, очевидным выборым стея пременение обычных методов сжатия из бражений.

Кроме того, исходя на семи произвольностей методов сжатия видет, ме кем заметить, что алгоритм XVC остается нед эциненным, хотя его результаты оказываются выше стальных. Следующим по значимости можно считать алгоритм AV1. Это подтверждает тот факт, что новейшие алгоритмы сжатия показывают более высокую производительность по отношению к своим предшественникам.

Также при небольшом расстоянии между оптическими центрами запечатленных изображений применение алгоритмов сжатия видео более предпочтительно, чем применение алгоритмов сжатия изображений, поскольку они показывают более высокие результаты как в трехмерном, так и в четырехмерном варианте.

Вклад авторов

Р.Г. Болбаков – идея, разработка дизайна исследования, консультация по вопросам проведения всех этапов исследования.

В.А. Мордвинов – анализ научной работы, критический пересмотр с внесением ценного интеллектуального содержания.

А.Д. Макаревич – анализ литературы, написание статьи, планирование исследования, проведение всех этапов исследования, формализация списка литературы.

Authors' contributions

R.G. Bolbakov – idea, development of research design, consultation on the problems of carrying out all stages of the study.

V.A. Mordvinov – analysis of scientific work, revision with the contribution of valuable intellectual content.

A.D. Makarevich – literature analysis, article writing, research planning, carrying out all stages of the study, formalization of the list of references.

СПИСОК ЛИТЕРАТУРЫ / REFERENCES

- Broxton M., Flynn J., Overbeck R., Erickson D., Hedman P., Matthew Duvall M., Dourgarian J., Busch J., Whalen M., Debevec P. Immersive light field video with a layered mesh representation. *ACM Trans. Graph.* 2020;39(4):86. https://doi.org/10.1145/3386569.3392485
- Georgiev T., et al. Lytro camera technology: theory, algorithms, performance analysis. In: *Proc.* SPIE. Multimedia Content and Mobile Devices. 2013;8667:86671J. https://doi.org/10.1117/12.2013581

- Adelson E.H., Bergen J.R. The plenoptic function and the elements of early vision. In: Landy M., Movshon J.A. (Eds.). *Computational Models of Visual Processing*. London: The MIT Press Cambridge; 1991. P. 3–20. https://doi.org/10.7551/mitpress/2002.003.0004
- Alves G., Pereira F., da Silva E.A.B. Light field imaging coding: Performance assessment methodology and standards benchmarking. In: 2016 IEEE International Conference on Multimedia & Expo Workshops (ICMEW). IEEE; 2016. C. 1–6. https://doi.org/10.1109/ ICMEW.2016.7574774
- Zabrovskiy A., Feldmann C., Timmerer C. Multicodec DASH dataset. In: *Proceedings of the 9th ACM Multimedia Systems Conference*. 2018. P. 438–443. https://doi.org/10.1145/3204949.3208140
- Samuelsson J. The XVC video code" a revolutionary software-defined video compression format. SMPTE Motion Imaging Journal. 2019;128(10):1–8. https://doi. org/10.5594/JMI.2019.2937737
- Viola I., Řeřábek M., Ebrahimi T. Comparison and evaluation of light field image coding approaches. *IEEE Journal of Selected Topics in Signal Processing*. 2017;11(7):1092–1106. https://doi.org/10.1109/JSTSP.2017 2740167
- 8. Dlabaja D. 4D-DCT based light field image compression. *Image*. 2019;28(1):128. Available from URL: http://cel.fit. vutbr.cz/submissions/2019/021/21.pdf
- 9. Brites C., Ascenso J., Pereira F. Lenslet of held image coding: Classifying, reviewing and evaluating. *IEEE Transactions on Circuits and tems for ideo Technology*. 2020;31(1):339–354. https://doi.org/10.1109/TCSVT.2020.2976784
- 10. Aggoun A. A 3D DCT compression algorithm for omnidirectional integral in 2006 IEEE International Conference Acoust Speech and Signal Processing Proceedings. IEE; 2006.2:9142643. https://doi.org/10.1109/ICAS. 2006.3393
- doi.org/10.1109/ICAss 2022. 2023.

 11. Liu D., et al. View synt his based light field image compression using a generative adversarial network. *Inf. Sci.* 2021;545:118–131. https://doi.org/10.1016/j. ins.2020.07.073
- Pratapa S., Manocha D. RLFC: random access light field compression using key views and bounded integer sequence encoding. In: *Proceedings of the ACM SIGGRAPH Symposium on Interactive 3D Graphics and Games*. 2019. P. 1–10. https://doi.org/10.1145/3306131.3317018

- 13. Dib E., et al. Super-ray based low rank approximation for light field compression. In: *2019 Data Compression Conference (DCC)*. IEEE; 2019. P. 369–378. https://doi.org/10.1109/DCC.2019.00045
- 14. Joshitha R., Sharma M. A hierarchical coding scheme for glasses-free 3d displays based on scalable hybrid layered representation of real-world light fields. In: 2021 IEEE International Conference on Systems, Man, and Cybernetics (SMC). IEEE; 2021. P. 3491–3498. https://doi.org/10.1109/SM-52-2021.9658584
- doi.org/10.1109/SIV.32.1.2021.9658584

 15. Ravishankar J., S'arma M. anovel hierarchical light field coding scheme based on h brid stacked multiplicative layers and Fourier datasity layers for glasses-free 3D displays. Xiv is sprint axiv:2108.12399. 2021. https://doi.org/10.4.00/arXiv.2108.12399
- 16. Tu V., et al. Burient content adaptive plenoptic video con *IEEE Access*. 2020;8:5797–5804. https://doi.org/10.102/ACCESS.2020.2964056
- 1. Chao Y.H., et al. Pre-demosaic graph-based light field image compression. arXiv preprint arXiv:2102.07883. 2021. tvailable from URL: https://arxiv.org/pdf/2102.07882.pdf
- 18. Mathew A.G., Mathew A.A. Intra coding of plenoptic images in HEVC. In: *Emerging Technologies for Sustainability*. CRC Press; 2020. P. 459–465. Available from URL: https://www.taylorfrancis.com/chapters/edit/10.1201/9780429353628-58/intra-coding-plenoptic-images-hevc-ashlin-george-mathew-anu-abrahammathew
- Bakir N., et al. RDO-based light field image coding using convolutional neural networks and linear approximation.
 In: 2019 Data Compression Conference (DCC). IEEE; 2019. P. 554. https://doi.org/10.1109/DCC.2019.00066
- Zhong T., et al. Light field image compression using depth-based CNN in intra prediction. In: 2019 IEEE International Conference on Acoustics, Speech, and Signal Processing (ICASSP). IEEE; 2019. P. 8564–8567. https://doi.org/10.1109/ICASSP.2019.8682820
- Yuan X., Haimi-Cohen R. Image compression based on compressive sensing: End-to-end comparison with JPEG. *IEEE Transactions on Multimedia*. 2020;22(11): 2889–2904. https://doi.org/10.1109/TMM.2020.2967646
- Li Y., et al. Coding of focused plenoptic contents by displacement intra prediction. *IEEE Transactions on Circuits* and Systems for Video Technology. 2015;26(7):1308–1319. https://doi.org/10.1109/TCSVT.2015.2450333

Об авторах

Болбаков Роман Геннадьевич, к.т.н., доцент, заведующий кафедрой инструментального и прикладного программного обеспечения Института информационных технологий ФГБОУ ВО «МИРЭА – Российский технологический университет» (119454, Россия, Москва, пр-т Вернадского, д. 78). E-mail: bolbakov@mirea.ru. Scopus Author ID 57202836952, SPIN-код РИНЦ 4210-2560, http://orcid.org/0000-0002-4922-7260

Мордвинов Владимир Александрович, к.т.н., профессор кафедры инструментального и прикладного программного обеспечения Института информационных технологий ФГБОУ ВО «МИРЭА – Российский технологический университет» (119454, Россия, Москва, пр-т Вернадского, д. 78). E-mail: mordvinov@mirea.ru. SPIN-код РИНЦ 9390-1540, http://orcid.org/0000-0003-3622-8448

Макаревич Артём Денисович, аспирант кафедры инструментального и прикладного программного обеспечения Института информационных технологий ФГБОУ ВО «МИРЭА – Российский технологический университет» (119454, Россия, Москва, пр-т Вернадского, д. 78). E-mail: artemmakarevich1997@gmail.com. http://orcid.org/0000-0002-2211-1241

About the authors

Roman G. Bolbakov, Cand. Sci. (Eng.), Associate Professor, Head of the Department of Instrumental and Applied Software, Institute of Information Technologies, MIREA – Russian Technological University (78, Vernadskogo pr., Moscow, 119454 Russia). E-mail: bolbakov@mirea.ru. Scopus Author ID 57202836952, RSCI SPIN-code 4210-2560, http://orcid.org/0000-0002-4922-7260

Vladimir A. Mordvinov, Cand. Sci. (Eng.), Professor, Department of Instrumental and Applied Software, Institute of Information Technologies, MIREA – Russian Technological University (78, Vernadskogo pr., Moscow, 119454 Russia). E-mail: mordvinov@mirea.ru. RSCI SPIN-code 9390-1540, http://orcid.org/0000-0003-3622-8448

Artem D. Makarevich, Postgraduate Student, Department of Instrumental and Applied Software, Institute of Information Technologies, MIREA – Russian Technological University (78, Vernadskogo pr., Moscow, 119454 Russia). E-mail: artemmakarevich1997@gmail.com. http://orcid.org/0000-0002-2211-1241

